

# РАСЧЕТ И КОНСТРУИРОВАНИЕ МАШИН

539.311

## ЧАСТОТЫ СОБСТВЕННЫХ КОЛЕБАНИЙ ОТРЕЗКА ЭЛАСТИЧНОЙ НИТИ С НЕПОДВИЖНЫМ КОНЦОМ

*Канд.техн.наук, доц. П. ГРУСАНОВ*

*Вследствие действия силы тяжести свободно висящая, исходно однородная, гибкая растянутая нить в состоянии равновесия имеет неравномерное распределение масс и удельной жесткости на растяжение, что усложняет расчет ее спектра собственных частот колебаний в продольном и поперечных направлениях. Численный расчет выполнен на основе дискретной модели метода твердых тел.*

Данное исследование дополняет работы [1-3], посвященные анализу собственных колебаний нити с помощью дискретных расчетных моделей сплошной среды, сформированных на основе метода твердых тел (МТТ). В задачах динамики гибких стержней МТТ имеет неоспоримые преимущества перед МКЭ в технологии формирования математической модели и учета физических условий, а также в точности итоговых результатов.

Объектом исследования является свободно висящий отрезок однородной гибкой нити из эластика с одним закрепленным концом в точке  $O$  (рис. 1,а, ось  $Oy$  - вертикальна,  $g$  - ускорение однородного поля силы тяжести). Из-за действия силы тяжести статическое напряженно-деформированное состояние нити неравномерно. При этом материал верхнего участка нити испытывает наибольшие продольные и поперечные деформации. Тем самым любые два, исходно недеформированные, участка нити, равной длины, но расположенные в разных частях нити, в статическом состоянии в поле силы тяжести будут иметь различные длины, размеры поперечных сечений и, следовательно, разные жесткости и моменты инерции масс. Несложный опыт с резиновой жилкой, длиной 70 см, диаметром 1,5 мм, подтвердил нелинейность ее статической нагрузочной характеристики  $\Delta = \Delta(P)$ , т.е. зависимости ее удлинения  $\Delta$  от величины продольной силой  $P$ .

Цель исследования – разработать методику для оценки влияния начального напряженного статического состояния отрезка эластичной нити на низшие частоты плоских собственных ко-

лебаний, если заданы:  $M$ ,  $L$ ,  $S_0$  – масса, длина, площадь круглого поперечного сечения;  $E$ ,  $\mu = 1/2$  – модуль упругости и коэффициент Пуассона материала, который считаем линейно упругим телом.

Следуя идеям В.Л. Бидермана [4] и МТТ, исследуем колебания эластичной нити, заменив ее плоской дискретной моделью (рис. 1,б), состоящей из одинаковых  $n$  - инерционных элементов (ИЭ) и  $n$  - упругих элементов (УЭ) – отрезков невесомой эластичной нити, условно изображенных пружинами. ИЭ представим в виде двух сочлененных твердых тел равной массы. Моменты инерции массы ИЭ производим как для тонкого однородного стержня с изменяемой длиной. Масса ИЭ -  $m = M/n$ , собственная длина УЭ -  $l = L/n$ , номинальный коэффициент жесткости каждого УЭ в свободном состоянии  $c^* = nc_0$ ;  $c_0 = \frac{ES_0}{L}$  - номинальный коэффициент жесткости нити на растяжение. Пары, составленные из УЭ и ИЭ, соединены идеальными шарнирами между собой и с опорой  $O$ .

Индивидуальные значения коэффициентов жесткости нелинейно-упругих УЭ в состоянии равновесия дискретной схемы выберем так, чтобы в поле силы тяжести удлинения УЭ были близки к статическим удлинениям соответствующих участков исследуемой эластичной нити. При этом считаем, что в пределах УЭ постоянны  $\varepsilon_i$  - величина относительной деформации в продольном направлении и его площадь поперечного сечения. Относительная деформация эластика в продольном направлении нити  $\varepsilon > 0$  увеличивает моменты инерции массы ее участков вокруг поперечных осей и вызывает поперечную деформацию  $\mu\varepsilon$ , что ведет к сокращению площади поперечного сечения  $S = S_0(1-\mu\varepsilon)^2$  и снижению  $ES$  - удельной жесткости сечений. Отмеченные особенности статического состояния эластичной нити учитываем в формулах для  $J_i = m(l + \Delta_i)^2 / 12$  - момента инерции масс ИЭ вокруг центральной поперечной оси и  $c_i = \frac{ES_0(1-\mu\varepsilon_i)^2}{l + \Delta_i} = nc_0 \frac{(1-\mu\varepsilon_i)^2}{1 + \varepsilon_i}$  - коэффициента жесткости УЭ ( $i = \overline{1, n}$ ).  
Здесь  $\Delta_i = \varepsilon_i l > 0$  - статическое удлинение УЭ.

Величину  $\varepsilon_i$  рассчитаем на основании нелинейной связи между продольной силой и удлинением  $\Delta_i$ ,

$$\int_0^{\Delta_i} c_i(\Delta) d\Delta = mg(n-i+1/2). \quad (1)$$

Преобразуя к явному виду, получим  $\int_0^{\varepsilon_i} \frac{(1-\mu\varepsilon)^2}{1+\varepsilon} d\varepsilon = \varepsilon_0(n-i+1/2)/n$ ,  
где  $\gamma = mg/l = Mg/L$  - погонный удельный вес эластика в свободном состоянии,  
 $\varepsilon_0 = \gamma/c_0 = \Delta_0/L$  - номинальная осевая деформация и  $\Delta_0 = Mg/c_0$  – номинальное статическое удлинение нити при неизменном коэффициенте жесткости от сосредоточенной продольной силы, равной  $Mg$  - весу нити.

Последующие расчеты параметров статического состояния, а также аналитическое формирование матриц  $A$ ,  $C$  и расчеты частот колебаний выполнены с помощью программы *Maple* при  $n = 20$ . Исследованиями [1, 2] установлено, что уже при  $n \geq 5$  точность результатов МТГ для нити в сходных физических условиях приемлема для инженерной практики. В связи с этим опускаем вопросы сходимости результатов в зависимости от числа элементов.

Значения  $\varepsilon_i$  в состоянии равновесия, предваряющие анализ частот продольных и поперечных колебаний, рассчитываем для случая  $\varepsilon_0 = 0,4$ , что соответствует коэффициенту жесткости нити  $c_0 = 2,5 \text{ Mg/L}$ . Отметим, что при  $\varepsilon_0 > 0,483$  численные решения (1) для  $\varepsilon_i$  перестают удовлетворять условию неотрицательности величин поперечных размеров сечения:  $1 - \mu\varepsilon_i > 0$ .

Влияние  $\varepsilon_0$  – номинальной осевой деформации нити на  $\varepsilon_i$  – деформацию и  $c_1$  – коэффициент жесткости верхнего УЭ при  $n = 20$  отражено в табл. 1

Таблица 1

	Номинальная осевая деформация нити $\varepsilon_0$											
	0,4	0,41	0,42	0,43	0,44	0,45	0,46	0,47	0,48	0,481	0,482	0,483
$\varepsilon_1$	0,741	0,786	0,836	0,893	0,958	1,03	1,13	1,26	1,50	1,55	1,60	1,68
$c_1/c^*$ [%]	22,7	20,6	18,4	16,2	13,9	11,4	8,85	5,99	2,46	2,01	1,51	0,93

С ростом номера УЭ монотонно изменяются  $\varepsilon_i$  – осевые деформации и отношения  $c_i/c^*$  [%] – коэффициентов жесткости в состоянии равновесия. Закон их распределения виден из табл. 2 на примере нечетных номеров УЭ.

Таблица 2

$i$	1	3	5	7	9	11	13	15	17	19
$\varepsilon_i[-]$	0,741	0,592	0,478	0,385	0,306	0,238	0,178	0,124	0,075	0,031
$c_i/c^*$ [%]	22,7	31,1	39,2	47,1	54,9	62,7	70,5	78,3	86,1	94,0

В статике величины продольных сил у самого верхнего и самого нижнего УЭ отличаются в  $2n-1=39$  раз, но при этом, из-за значительного снижения коэффициента жесткости  $c_1$  верхнего УЭ, его  $\varepsilon_1$  – осевая деформация в 74 раза больше, чем  $\varepsilon_{20}=0,0101$  у нижнего УЭ.

Найденные значения  $\varepsilon_i$  позволяют рассчитать  $\Delta_i$ ,  $c_i$ ,  $J_i$  – индивидуальные механические характеристики УЭ и ИЭ в состоянии равновесия. Таким образом, исходно однородная сплошная среда – эластик в задаче расчета малых колебаний в однородном поле силы тяжести предстает в образах МТТ как неоднородная дискретная система с конечным числом степеней свободы  $r=2n$ .

Исследование ее собственных частот колебаний в вертикальной плоскости  $Oxy$  сводим к формированию  $A = (a_{ij})$ ,  $C = (c_{ij})$  - матриц инерции и жесткости линейной системы ДУ возмущенного движения I-го приближения

$$A \ddot{\vec{q}} + C \vec{q} = 0, \quad (2)$$

где  $\vec{q}$  - вектор обобщенных координат  $q_i$ ,  $\dim A = \dim C = r \times r$ ,  $\dim \vec{q} = r$ ,

$$a_{ij} = \frac{\partial^2 T}{\partial \dot{q}_i \partial \dot{q}_j}, \quad c_{ij} = \frac{\partial^2 \Pi}{\partial q_i \partial q_j}, \quad T = \sum_{k=1}^n T_k = T(\vec{q}, \dot{\vec{q}}) \Big|_{\vec{q}=0} = \sum_{i=1}^r \sum_{j=1}^r a_{ij} \dot{q}_i \dot{q}_j / 2.$$

$$\Pi = \sum_{k=1}^n \Pi_k = \Pi(\vec{q}) = \sum_{i=1}^r \sum_{j=1}^r c_{ij} q_i q_j / 2 - \text{кинетическая и потенциальная энергии дискретной}$$

системы тел при малых колебаниях.

Положительные корни уравнения

$$\det(-p^2 A + C) = 0 \quad (3)$$

доставляют значения первым  $r$  собственным, размерным частотам  $p_i$ .

В качестве обобщенных координат, задающих положение тел дискретной системы относительно положения статического равновесия, применим (рис. 1,б)  $x_k$  - абсциссы подвижных шарнирных узлов, включая точку  $B$  ( $x_n = x_B$ ), и  $\lambda_k$  - дополнительные удлинения УЭ. Скорости изменения обобщенных координат из этих двух групп инициируют в положении равновесия, соответственно, взаимно перпендикулярные компоненты скоростей точек. Кроме того квадратичная форма  $\Pi$  не содержит произведений типа  $x_k \lambda_k$ .

Тем самым приходим к выводу, что в данных обобщенных координатах система (2) распадается на две несвязанные подсистемы, описывающие, соответственно, продольные или поперечные колебания, т. е. частоты двух этих типов колебаний дискретной системы тел можно рассчитывать раздельно.

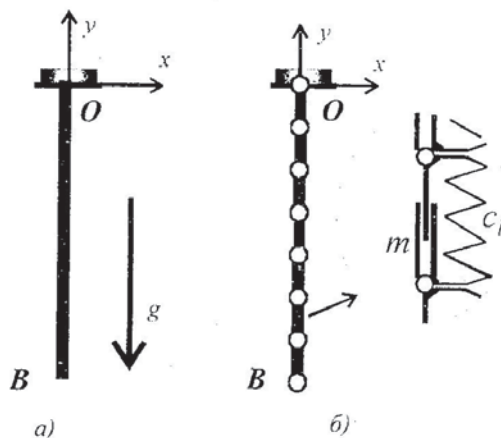


Рис. 1

Случай продольных колебаний ( $r=n$ ). Элементы матрицы инерции  $a_{ii}$  формируем на основании явного выражения для квадратичной функции  $T$  в равновесном положении дискретной схемы, когда все  $x_k=0$ ,  $\lambda_k=0$ , а скорости  $\dot{x}_k=0$ ,  $\dot{\lambda}_k\neq 0$ .

В этом случае кинетическая энергия смежных масс, примыкающих к шарниру с номером  $k$  ( $k=\overline{2, n}$ ),  $T_k=m\dot{v}_k^2/2$ ;  $k=\overline{1, n}$   $v_k=v_{k-1}+\dot{\lambda}_k$ ;  $v_1=0$ . Для нижней дискретной массы  $T_B=m(v_n+\dot{\lambda}_n)^2/4$ . Поэтому элементы симметричной матрицы инерции  $A$ :  $a_{ij}=m(n-j+1/2)$ ,  $j \geq i$ ,  $a_{ji}=a_{ij}$ ,  $i=\overline{1, n}$ .

При смещении дискретной системы тел из положения равновесия изменение ее потенциальной энергии  $\Delta\Pi$  определяется лишь дополнительными удлинениями УЭ:  $\Delta\Pi=0.5\sum_{k=1}^n c_k \lambda_k^2$ , т.е. матрица  $C$  - диагональна:  $c_{ii}=c_i$ ,  $i=\overline{1, n}$ .

Согласно (3), значения квадратов размерных частот  $p_k^2$  продольных колебаний пропорциональны отношению  $c_0/M=g/(\epsilon_0 L)$ . Поэтому, чтобы иметь возможность сравнивать частоты продольных и поперечных колебаний, вместо размерных  $p_k$  рассчитываем безразмерные  $s_k=p_k\sqrt{L/g}$  при заданном  $\epsilon_0=0,4$ .

Расчетный спектр частот продольных колебаний  $s_k$ : 1,54; 5,34; 8,95; 12,5; 15,9; 19,2; 22,4; 25,4; 28,1; 30,7; 33,2; 35,5; 38,0; 40,4; 43,0; 45,8; 48,7; 51,9; 55,6; 60,8. При гипотетически одинаковых коэффициентах жесткости всех УЭ и равных  $c^*$  частоты спектра составили бы ряд: 2,48; 7,43; 12,3; 17,2; 21,9; 26,5; 30,9; 35,1; 39,2; 42,9; 46,4; 49,7; 52,6; 55,2; 57,4; 59,3; 60,9; 62,0; 62,8; 63,2. Тем самым приходим к выводу, что учет изменения жесткости участков нити снижает первую частоту на 37,8%, а последующие частоты, вплоть до 15-того тона, в среднем, более чем на 25 %.

Случай поперечных колебаний ( $r=n$ ). Элементы матрицы инерции  $a_{ij}$  формируем по квадратичной функции  $T$  в равновесном положении дискретной схемы, когда  $x_k=0$ ,  $\lambda_k=0$ , скорости  $v_k=\dot{x}_k\neq 0$ ,  $\dot{\lambda}_k=0$ . Так как  $\dot{\lambda}_k=0$ , то  $T_k$  ( $k=\overline{1, n}$ ) каждого ИЭ оцениваем, полагая его однородным стержнем массой  $m$ , длиной  $l+\Delta_k$  [1]:  $T_k=m(\dot{v}_{k-1}^2+v_{k-1}v_k+\dot{v}_k^2)/6$ , где  $v_0=0$ . Тогда матрица  $A$  имеет ленточную структуру:  $a_{ii}=2m/3$ ,  $a_{ij}=m/6$ ,  $j=i\pm 1$ ;  $a_{ij}=a_{ji}=0$ ,  $j > i+1$ .

Потенциальная энергия тел в данном случае обусловлена только силами однородного поля силы тяжести. Поэтому сформируем функцию  $\Pi(x_1, x_2, \dots, x_n)$ , заменив исходную систему распределенных сил тяжести эквивалентной, в виде  $n-1$  вертикальных сил  $mg$ , приложенных в шарнирных узлах с номерами 1, 2, 3, ..  $n-1$  и двух сил, равных  $mg/2$ , в точках  $O, B$ . Тогда, с точ-

ностью до величин второго порядка малости относительно  $x/(l+\Delta_1)$ .

$$P = \frac{mg}{2} \sum_{i=1}^n (n-i+1/2) \frac{(x_i - x_{i-1})^2}{l + \Delta_i}, \text{ т.е. } C - \text{симметричная матрица жесткости имеет ленточную структуру: } c_{ii} = 2(n-i+1/2) \frac{mg}{l + \Delta_i}, c_{i,i+1} = -(n-i-1/2) \frac{mg}{l + \Delta_i}, c_{ij} = 0, j > i+1, c_{ji} = c_{ij}.$$

Все элементы матриц  $A$  и  $C$  имеют общий множитель  $m$ , который можно исключить в (3). Однако из этого факта еще не следует независимость частот любых форм собственных поперечных колебаний дискретной системы тел от ее дискретных масс, как это имело место в [1–3], поскольку в  $c_{ij}$  входит  $\Delta_i$  – статическое удлинение УЭ, которое, в свою очередь, зависит от уровня сил тяжести, т.е. масс ИЭ, и от текущей жесткости УЭ.

В расчетный спектр  $s_k$  – безразмерных собственных частот поперечных колебаний дискретной схемы входят: 1,04; 2,51; 3,99; 5,52; 7,11; 8,77; 10,5; 12,4; 14,3; 16,5; 18,7; 21,1; 23,7; 26,5; 29,4; 32,6; 36,0; 39,7; 43,8; 48,2. Значения частот этого спектра соответственно на 10 – 15% меньше, чем частоты поперечных колебаний нерастяжимой нити [1], и на 2,5 – 7% меньше, чем собственные частоты условной дискретной схемы с одинаковыми коэффициентами жесткости всех УЭ в состоянии равновесия, равными  $c^*$ . Наибольшие отличия (в %) имеют первые низшие частоты сравниваемых спектров.

На основании проведенного анализа для нити из линейно-упругого эластика с номинальным коэффициентом жесткости  $c_0=2,5 \text{ Mg/L}$  приходим к выводам.

1. Нелинейность нагрузочной характеристики  $\Delta = \Delta(P)$  обусловлена прогрессивным снижением  $ES$  – удельных жесткостей участков нити при росте силы. В поле силы тяжести  $\Delta_1$  – статическое удлинение верхнего участка нити более 70% от его начальной длины. Существует ограничение на минимальную величину  $c_0$ , при которой еще возможно состояние равновесия.

2. Спектры собственных частот поперечных и продольных колебаний перекрывают друг друга. В обоих спектрах частоты распределены достаточно равномерно. Отличия между соседними частотами  $s_k$  находятся в пределах 1,5 – 3 и 4 – 5 единиц, соответственно для спектров поперечных и продольных колебаний, при этом могут «почти» совпадать частоты из разных спектров. Собственные частоты поперечных колебаний нити из эластика на 10 – 15% ниже, чем у нерастяжимой нити той же длины и массы

## СПИСОК ЛИТЕРАТУРЫ

1. Русанов П.Г. Расчет собственных колебаний в вертикальной плоскости отрезка тяжелой нити. // Известия вузов. Машиностроение. – 2008. – № 1. – С. 3 – 10.
2. Русанов П.Г. Расчет собственных колебаний отрезка тяжелой нити с закрепленными концами «из вертикальной плоскости» // Известия вузов. Машиностроение. – 2008. – № 2. – С. 3 – 9.

3. Рusanov P.G. Влияние упругого звена на частоты собственных колебаний вертикально расположенного отрезка тяжелой нити // Известия вузов. Машиностроение. –2008. –№6. –С. 3 - 7.
4. Бидерман В.Л. Прикладная теория механических колебаний.- М.: Высшая школа , 1980,- 408 с.

621.01

## РАСЧЕТ КИНЕМАТИЧЕСКОЙ ПОГРЕШНОСТИ ВОЛНОВОЙ ЗУБЧАТОЙ ПЕРЕДАЧИ КАК УПРУГОЙ СИСТЕМЫ С ОДНОСТОРОННИМ КОНТАКТОМ ЗВЕНЬЕВ

Канд.техн.наук, доц. И.Е.ЛЮМИНАРСКИЙ, Канд.техн.наук, доц С.Е.ЛЮМИНАРСКИЙ

*Предложен метод расчета кинематической погрешности волновых зубчатых передач, основанный на расчете силового взаимодействия звеньев передачи как упругой системы с односторонними связями. Получена зависимость наибольшей кинематической погрешности ВЗП-80 от смещения кулачка. Показано влияние формы кулачка на кинематическую погрешность волновой передачи.*

Кинематическая погрешность (КП) волновой зубчатой передачи (ВЗП) является результатом взаимодействия погрешностей изготовления и установки зубчатых колес. Формальное суммирование результирующих погрешностей дает существенно завышенное значение кинематической погрешности передачи. Это объясняется тем, что в реальной передаче за счет податливостей составляющих передачу звеньев происходит изменение сил в зонах зацепления. Под действием неравных сил в двух зонах зацепления происходят упругие деформации звеньев, в результате чего действующий суммарный вектор погрешности окажется меньше алгебраической суммы результирующих векторов погрешностей узлов. Методики определения кинематической погрешности изложены в [1.2] и других работах. Эти методики учитывают упругие деформации звеньев передачи. Однако в этих работах многопарность и многозонность зацепления учитывается приближенно.

В предлагаемой работе рассматривается методика определения кинематической погрешности ВЗП, основанная на расчете силового взаимодействия элементов ВЗП как упругой системе с односторонними связями [3].

Применяемая методика учитывает: деформацию гибкого колеса как оболочки вращения; возможность контакта каждой пары зубьев в двух зонах зацепления; возможность двухкромочного контакта зубьев; изменение положения точек контакта зубьев по их высоте; эволь-